

Si vede che, comunque venga scelto  $\bar{\theta}$ , si ha  $\lim_{t \rightarrow +\infty} \varphi(t, \bar{\theta}) = 0$ , quindi  $\theta = 0$  è attrattivo (e il suo bacino d'attrazione è  $\mathbb{T}$ ). Tuttavia si vede anche che comunque sia scelto  $\varepsilon > 0$  è possibile trovare  $\delta > 0$  tale che, se  $\bar{\theta} \in (-\delta, 0) \subset B_\delta(0)$ , allora esiste un tempo finito  $t_1$  tale che  $\varphi(t_1, \bar{\theta}) \notin B_\varepsilon(0)$ . Quindi  $\theta = 0$  non è stabile.

**Definizione 17.12** (INSIEME LIMITE) *Dato  $x \in \mathbb{R}^n$ , definiamo l'insieme  $\omega$ -limite di  $x$  come l'insieme*

$$L_\omega(x) := \{y \in \mathbb{R}^n : \exists t_1 \leq t_2 \leq \dots \leq t_k \rightarrow +\infty \text{ tale che } \lim_{k \rightarrow \infty} |\varphi(t_k, x) - y| = 0\},$$

dove  $\{t_k\}$  è una successione monotona di tempi che tende a  $+\infty$ . Analogamente definiamo l'insieme  $\alpha$ -limite di  $x$  come l'insieme

$$L_\alpha(x) := \{y \in \mathbb{R}^n : \exists t_1 \geq t_2 \geq \dots \geq t_k \rightarrow -\infty \text{ tale che } \lim_{k \rightarrow \infty} |\varphi(t_k, x) - y| = 0\},$$

dove  $\{t_k\}$  è una successione monotona di tempi che tende a  $-\infty$ .

**Esempio 17.13** Esempi di insiemi limite per sistemi dinamici (17.1) sono i punti di equilibrio asintoticamente stabili nella definizione 17.10 e i cicli limite che saranno definiti più avanti (cfr. la definizione 21.10). Se la traiettoria che parte da un punto  $x$  è periodica, ogni punto lungo la traiettoria, e quindi l'orbita stessa contenente  $x$ , appartiene all'insieme  $\omega$ -limite e all'insieme  $\alpha$ -limite di  $x$ .

Ricordiamo ora alcuni risultati elementari di analisi che saranno utilizzati nel seguito (cfr. anche la nota bibliografica).

**Lemma 17.14** *Date due successioni reali positive  $\{t_k\}$  e  $\{a_k\}$ , la prima monotona divergente, esiste sempre una sottosuccessione  $\{t_{k_j}\}$  di  $\{t_k\}$ , monotona divergente e tale che  $|t_{k_{j+1}} - t_{k_j}| > a_j \forall j \in \mathbb{N}$ .*

*Dimostrazione.* Si definisce la sottosuccessione  $\{\tau_j\} := \{t_{k_j}\}$  ricorsivamente come segue. Si fissa  $\tau_1 \in \{t_k\}$  arbitrariamente. Dato  $\tau_j$ ,  $j \geq 1$ , si pone  $\tau_{j+1} = \min_{k \in \mathbb{N}} \{t_k : t_k > \tau_j + a_j\}$ . La definizione è ben posta poiché, per definizione di limite, per ogni  $M > 0$  esiste  $k_0$  tale che si ha  $t_k > M \forall k > k_0$ : fissato  $j$  basta scegliere  $M = \tau_j + a_j$ . La sottosuccessione  $\{\tau_j\}$  è divergente perché è estratta da una successione divergente (cfr. l'esercizio 10 del capitolo 1). ■

**Corollario 17.15** *Data una successione reale  $\{t_k\}$  monotona divergente, per ogni  $a > 0$  esiste una sottosuccessione  $\{t_{k_j}\}$  monotona divergente tale che  $|t_{k_{j+1}} - t_{k_j}| > a \forall j \in \mathbb{N}$ .*

*Dimostrazione.* Si scelga  $a_k = a \forall k$  nel lemma 17.14. ■

**Lemma 17.16** *Date due successioni reali monotone divergenti  $\{t_k\}$  e  $\{s_k\}$ , esistono sempre due sottosuccessioni  $\{s_{k_j}\}$  e  $\{t_{k_j}\}$  tali che  $t_{k_j} < s_{k_j} < t_{k_{j+1}} \forall j \in \mathbb{N}$ .*

*Dimostrazione.* Definiamo ricorsivamente le due sottosuccessioni  $\{\tau_j\} = \{t_{k_j}\}$  e  $\{\sigma_j\} = \{s_{k_j}\}$  nel modo seguente. Si fissa  $\tau_1$  arbitrariamente. Dato  $\tau_j$ ,  $j \geq 1$ , poniamo

$$\sigma_j = \min_{k \in \mathbb{N}} \{s_k : s_k > \tau_j\}, \quad \tau_{j+1} = \min_{k \in \mathbb{N}} \{t_k : t_k > \sigma_j\}.$$

Tali definizioni hanno senso poiché le due successioni monotone  $\{t_k\}$  e  $\{s_k\}$  divergono, così che le sottosuccessioni  $\{\tau_j\}$  e  $\{\sigma_j\}$  sono entrambe divergenti perché estratte da successioni divergenti (cfr. l'esercizio 10 del capitolo 1). ■

Gli insiemi limite godono di alcune semplici proprietà, che saranno utili nel seguito. Le enunceremo (e dimostreremo) nel caso degli insiemi  $\omega$ -limite; i risultati valgono in ogni caso anche per gli insiemi  $\alpha$ -limite (e le dimostrazioni sono del tutto analoghe).

**Teorema 17.17** *Dato  $x \in \mathbb{R}^n$ , se  $L_\omega(x)$  è non vuoto, allora  $L_\omega(x)$  è chiuso.*

*Dimostrazione.* Dobbiamo dimostrare che se  $\{y_n\}$  è una successione di punti  $y_n \in L_\omega(x)$  che converge a un punto  $y$ , allora  $y \in L_\omega(x)$  (cfr. l'esercizio 11 del capitolo 1). Per definizione di limite, per ogni  $\varepsilon > 0$  esiste  $n_0$  tale che, per ogni  $n > n_0$ , si ha  $|y_n - y| < \varepsilon/2$ . Per ogni  $n$ , per definizione di insieme  $\omega$ -limite, esiste una successione divergente  $\{t_k^{(n)}\}$  tale che, comunque si fissi  $\varepsilon > 0$ , esiste  $k_0(n)$  tale che, per ogni  $k > k_0(n)$ , si ha  $|\varphi(t_k^{(n)}, x) - y_n| < \varepsilon/2$ . Quindi, per ogni  $\varepsilon > 0$  esiste  $n_0$  tale che, per ogni  $n > n_0$  e per ogni  $k > k_0(n)$ , si ha  $|\varphi(t_k^{(n)}, x) - y| \leq |\varphi(t_k^{(n)}, x) - y_n| + |y_n - y| < \varepsilon$ . Poiché il valore di  $k$  dipende da  $n$ , la successione  $\{\tau_n\} = \{t_k^{(n)}\}$  definisce una successione divergente; prendendo eventualmente una sottosuccessione di  $\tau_n$  otteniamo una successione crescente che tende all'infinito. ■

**Teorema 17.18** *Dato  $x \in \mathbb{R}^n$ , se  $L_\omega(x)$  è non vuoto, allora  $L_\omega(x)$  è invariante.*

*Dimostrazione.* Sia  $y \in L_\omega(x)$  e sia  $\{t_k\}$  la successione di tempi tali che  $|\varphi(t_k, x) - y| \rightarrow 0$  per  $k \rightarrow \infty$ . Consideriamo la successione  $\varphi(t_k + t, x)$ : si ha  $\varphi(t_k + t, x) = \varphi(t, \varphi(t_k, x))$ , che implica, per il teorema 12.3 (teorema della dipendenza continua dai dati iniziali), che  $|\varphi(t_k + t, x) - \varphi(t, y)| \rightarrow 0$  per  $k \rightarrow \infty$ , così che esiste una successione  $\{\tau_k\} = \{t_k + t\}$  tale che  $|\varphi(\tau_k, x) - \varphi(t, y)| \rightarrow 0$  per  $k \rightarrow \infty$ . Quindi  $\varphi(t, y) \in L_\omega(x)$ . ■

**Definizione 17.19** (INSIEME CONNESSO) *Sia  $E$  uno spazio euclideo. Un insieme  $S \subset E$  si dice connesso se non esistono in  $E$  due insiemi aperti  $A$  e  $B$  disgiunti (i.e. tali che  $A \cap B = \emptyset$ ) tali che  $S \subset A \cup B$ .*

**Teorema 17.20** *Dato  $x \in \mathbb{R}^n$ , se  $L_\omega(x)$  è non vuoto e limitato, allora  $L_\omega(x)$  è connesso.*

*Dimostrazione.* Dimostriamo preliminarmente che se  $L_\omega(x)$  è limitato il moto  $\varphi(t, x)$  si mantiene in una regione limitata, i.e. esiste un compatto  $B$  tale che  $\varphi(t, x) \in B \forall t > 0$ .

La dimostrazione si può fare per assurdo. Introduciamo alcune notazioni: sia  $A(r)$  la chiusura dell'intorno  $B_r(y)$  di raggio  $r$  e centro in  $y$ , i.e.  $A(r) := \overline{B_r(y)}$ . Scegliamo  $R$  tale che  $L_\omega(x) \subset A(R)$  (questo è possibile poiché  $L_\omega(x)$  è limitato per ipotesi). Consideriamo gli insiemi  $A(R + \varepsilon)$  e  $A(R + 2\varepsilon)$ , con  $\varepsilon > 0$ , e poniamo  $\mathcal{D}_\varepsilon := A(R + 2\varepsilon) \setminus A(R + \varepsilon)$ .

Fissato  $y \in L_\omega(x)$ , per definizione di insieme  $\omega$ -limite, esiste una successione divergente  $\{t_k\}$  tale che  $\varphi(t_k, x) \rightarrow y$ . Poiché stiamo assumendo che, comunque si fissi un compatto  $B$ , esiste un tempo  $t$  tale che  $\varphi(t, x) \notin B$ , ne segue che, per ogni  $t_k$ , deve esistere  $T_k > 0$  tale che  $\varphi(t_k + T_k, x) \in \mathcal{D}_\varepsilon$ . Se così non fosse, allora esisterebbe  $\bar{k}$  tale che  $\varphi(t_{\bar{k}} + t, x) \in A(R + \varepsilon)$  per ogni  $t \geq 0$ . Allora, poiché  $[0, t_{\bar{k}}]$  è compatto (in  $\mathbb{R}$ ), definendo  $M = \max\{|\varphi(t, x) - y| : t \in [0, t_{\bar{k}}]\}$ , si avrebbe  $\varphi(t, x) \in A(M)$  per  $t \in [0, t_{\bar{k}}]$  e  $\varphi(t, x) \in A(R + \varepsilon)$  per ogni  $t \geq t_{\bar{k}}$ , e, di conseguenza,  $\varphi(t, x) \in A(\rho)$ , con  $\rho = \max\{M, R + \varepsilon\}$ , per ogni  $t > 0$ . Scegliendo  $B = A(\rho)$ , si avrebbe  $\varphi(t, x) \in B \forall t > 0$ , contro l'assunzione fatta.

Definiamo  $\tau_k = t_k + T_k$ ; passando eventualmente a una sottosuccessione, la successione  $\{\tau_k\}$  è crescente (per il lemma 17.14) e tende all'infinito. Inoltre si ha  $\varphi(\tau_k, x) \in \mathcal{D}_\varepsilon$  per costruzione. D'altra parte, poiché  $\mathcal{D}_\varepsilon \subset A(R + 2\varepsilon)$ , si può estrarre da  $\{\tau_k\}$  un'ulteriore sottosuccessione  $\{\tau_{k_j}\}$  tale che esiste il limite  $y_0 := \lim_{j \rightarrow \infty} \varphi(\tau_{k_j}, x)$ , così che si deve avere  $y_0 \in L_\omega(x)$  e  $y_0 \in \overline{\mathcal{D}_\varepsilon}$ . Poiché questo contraddice l'ipotesi che fosse  $L_\omega(x) \subset A(R)$ , si è trovato un assurdo. In conclusione,  $\varphi(t, x)$  deve rimanere all'interno di  $A(R + \varepsilon)$  per ogni  $t$  sufficientemente grande e quindi esiste un compatto  $B$  tale che  $\varphi(t, x) \in B$  per ogni  $t \geq 0$ .

Dimostriamo ora che se  $L_\omega(x)$  è limitato, allora, per quanto appena visto, deve essere connesso, ovvero che non è possibile trovare due aperti disgiunti  $U_1$  e  $U_2$  la cui unione contenga  $L_\omega(x)$ . Supponiamo per assurdo che questo sia possibile. Allora esistono due punti  $y_1, y_2 \in L_\omega(x)$ , tali che  $y_1 \in U_1$  e  $y_2 \in U_2$ . Inoltre esistono due successioni  $\{t_k\}$  e  $\{s_k\}$  tali che  $|\varphi(t_k, x) - y_1| \rightarrow 0$  e  $|\varphi(s_k, x) - y_2| \rightarrow 0$ , per  $k \rightarrow \infty$ . Prendendo eventualmente sottosuccessioni possiamo supporre che sia  $t_k < s_k < t_{k+1} \forall k$  (per il lemma 17.16). Consideriamo le curve  $C_k$  descritte dalla traiettoria  $\varphi(t, x)$  per  $t \in [t_k, s_k]$ ,

$$C_k := \{\varphi(t, x) : t_k \leq t \leq s_k\}.$$

Si può determinare una successione di punti  $z_k \in C_k$  tali che  $\lim_{k \rightarrow \infty} z_k = z \notin U_1 \cup U_2$ . Infatti, se  $B$  è il compatto in cui si svolge il moto, per la continuità delle traiettorie si può scegliere una successione  $z_k \notin U_1 \cup U_2$  e, per la compattezza di  $B \setminus (U_1 \cup U_2)$ , esiste il limite  $z \notin U_1 \cup U_2$ . Poiché  $z_k = \varphi(\tau_k, x)$  per qualche successione  $\tau_k$ , ne segue che  $z \in L_\omega(x)$ . ■

**Osservazione 17.21** L'ipotesi di limitatezza è fondamentale per dimostrare che un insieme limite è connesso. Si possono infatti immaginare situazioni in cui un insieme  $\omega$ -limite sia illimitato e sconnesso. Si consideri per esempio un sistema dinamico definito in una striscia orizzontale

$$\mathcal{J} = \{(x, y) \in \mathbb{R}^2 : -1 \leq y \leq 1, x \in \mathbb{R}\},$$

tale che tutte le traiettorie si discostino dall'origine, ruotando intorno ad essa, avvicinandosi sempre più a  $y = \pm 1$  quando  $x = 0$ , e allontanandosi sempre più nella direzione orizzontale,

verso  $x = \pm\infty$ , quando  $y = 0$  (cfr. la figura 4.2). Sotto tali condizioni le rette  $y = \pm 1$  costituiscono l'insieme  $\omega$ -limite di ogni punto  $z \in \mathcal{J}$ . Segue che per ogni  $z \in \mathcal{J}$  l'insieme

$$L_\omega(z) = \{(x, y) \in \mathbb{R}^2 : y = -1, x \in \mathbb{R}\} \cup \{(x, y) \in \mathbb{R}^2 : y = 1, x \in \mathbb{R}\}$$

è dato dall'unione di due insiemi illimitati disgiunti e quindi non è connesso.

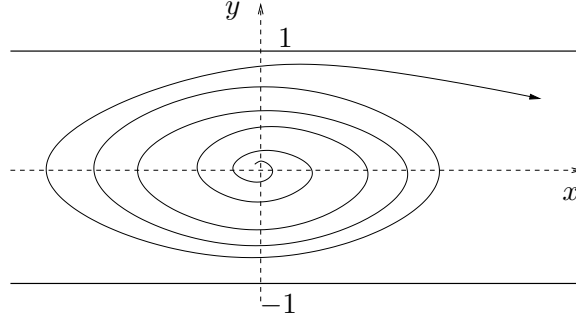


Figura 4.2: Insieme  $\omega$ -limite per il sistema discusso nell'osservazione 17.21.

**Teorema 17.22** Dato  $x \in \mathbb{R}^n$ , se  $y \in L_\omega(x)$  e  $y_1 \in L_\omega(y)$ , allora  $y_1 \in L_\omega(x)$ .

*Dimostrazione.* Il risultato è una conseguenza dei teoremi 17.17 e 17.18. Infatti, poiché  $y_1 \in L_\omega(y)$ , esiste una successione  $\{t_k\}$  tale che  $\lim_{k \rightarrow \infty} |\varphi(t_k, y) - y_1| = 0$ . Si ha  $\varphi(t_k, y) \in L_\omega(x)$  per il teorema 17.18 e per il teorema 17.17 deve essere allora  $y_1 \in L_\omega(x)$ . ■

**Osservazione 17.23** Dato un insieme  $A$  definiamo l'insieme  $\omega$ -limite di  $A$  come l'insieme

$$L_\omega(A) = \bigcup_{x \in A} L_\omega(x). \quad (17.8)$$

Allora possiamo enunciare il teorema 17.22 dicendo che si ha  $L_\omega(L_\omega(x)) = L_\omega(x)$ . Un analogo discorso si può fare per gli insiemi  $\alpha$ -limite:  $L_\alpha(L_\alpha(x)) = L_\alpha(x)$ .

**Teorema 17.24** Dato  $x \in \mathbb{R}^n$ , se  $L_\omega(x)$  è non vuoto e se  $A \subset \mathbb{R}^n$  indica l'insieme in cui si svolge il moto (così che  $\varphi(t, x) \in A \forall t \geq 0$ ), allora, se esiste una funzione  $W : A \rightarrow \mathbb{R}$  di classe  $C^1$  tale che  $W(x) \geq 0$  e  $\dot{W}(x) \leq 0$  per ogni  $x \in A$ , si ha  $\dot{W}(y) = 0$  per ogni  $y \in L_\omega(x)$ .

*Dimostrazione.* Supponiamo per assurdo che esista  $y \in L_\omega(x)$  tale che  $\dot{W}(y) \neq 0$ ; allora, poiché  $\dot{W} \leq 0$ , deve essere  $\dot{W}(y) = -c$ , con  $c > 0$ . La funzione  $W$  è continua, quindi esiste un intorno  $B_\varepsilon(y)$  tale che  $\dot{W}(z) < -c/2$  per ogni  $z \in B_\varepsilon(y)$  (cfr. l'esercizio 20 del capitolo 3).

Poiché  $y \in L_\omega(x)$ , dalla definizione di insieme  $\omega$ -limite segue che, fissato  $\delta > 0$  (con  $\delta < \varepsilon$ ), esiste  $k_0$  tale che  $y_k := \varphi(t_k, x) \in B_\delta(y)$  per ogni  $k > k_0$  (cfr. la figura 4.3). Definiamo

$$\beta = \beta(\delta, \varepsilon) := \min_{z \in \partial B_\delta(y)} \{ |t| : \varphi(t, z) \in \partial B_\varepsilon(y) \}. \quad (17.9)$$

Essendo il campo vettoriale  $f$  di classe  $C^1$ , si ha  $\beta > 0$  (può essere  $\beta = +\infty$  se  $\varphi(t, z)$  non raggiunge mai  $\partial B_\varepsilon(y)$ , ma  $\beta$  non può essere nullo). Quindi  $\varphi(t_k + \sigma, x) \in B_\varepsilon(y)$  per ogni  $|\sigma| \leq \beta$  (e per ogni  $k > k_0$ ).

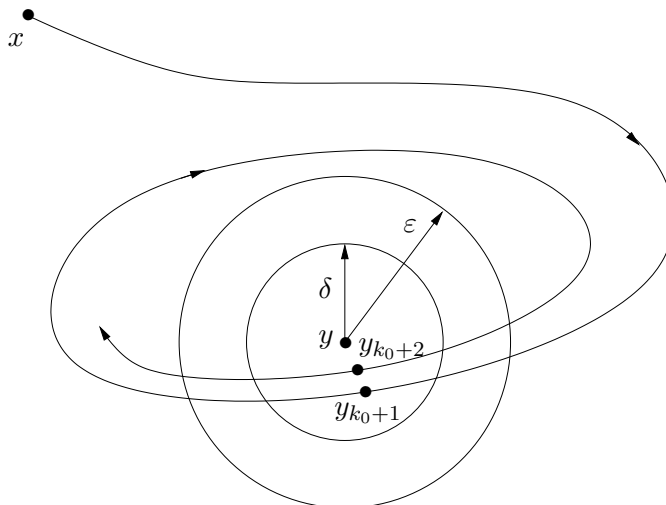


Figura 4.3: Discussione del teorema 17.24.

Se  $\beta = +\infty$  allora si ha  $\varphi(t, \bar{x}) \in B_\varepsilon(y) \forall \bar{x} \in B_\delta(y)$ . Sia  $\bar{x} = \varphi(t_{k_0+1}, x)$ . Allora si ha

$$W(\varphi(T, \bar{x})) - W(\bar{x}) = \int_0^T ds \frac{dW(\varphi(s, \bar{x}))}{ds} < -\frac{c}{2} T, \quad (17.10)$$

così che

$$\lim_{T \rightarrow +\infty} (W(\varphi(T, \bar{x})) - W(\bar{x})) = -\infty, \quad (17.11)$$

che è in contraddizione con l'ipotesi che la funzione  $W$  fosse  $W \geq 0$ .

Se invece  $\beta < +\infty$  si può ragionare come segue. Prendendo eventualmente una sottosuccessione di  $\{t_k\}$  (sfruttando il fatto che  $t_k \rightarrow +\infty$  e applicando il corollario 17.15 con  $a > 2\beta$ ), possiamo supporre che gli intervalli  $I_k = [t_k - \beta, t_k + \beta]$  siano disgiunti. Sia  $K(T)$  il numero di intervalli  $I_k$  tali che  $t_k + \beta < T$  (cfr. la figura 4.4).

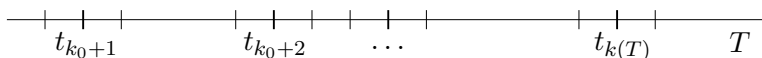


Figura 4.4: L'insieme  $I$  dato dall'unione degli intervalli  $I_k$ , con  $k_0 < k \leq k(T)$ .

Consideriamo di nuovo la differenza  $W(\varphi(T, x)) - W(x)$  nel limite  $T \rightarrow +\infty$ . Poiché  $\dot{W} \leq 0$  nella regione in cui si svolge il moto (per ipotesi), si ha

$$W(\varphi(T, x)) - W(x) = \int_0^T ds \frac{dW(\varphi(s, x))}{ds} \leq \int_{[0, T] \cap I} ds \frac{dW(\varphi(s, x))}{ds} < -\frac{c}{2} |[0, T] \cap I|, \quad (17.12)$$

dove  $I = \cup_{k>k_0} I_k$  e  $|[0, T] \cap I|$  indica la misura dell'insieme  $[0, T] \cap I$ , i.e.  $|[0, T] \cap I| = 2\beta[K(T) - k_0]$ . Per  $T \rightarrow +\infty$ , si ha  $k(T) \rightarrow \infty$ , così che di nuovo vale la (17.11) e si trova una contraddizione. ■

**Osservazione 17.25** L'idea della dimostrazione del teorema 17.24 è la seguente. Se (come si suppone per assurdo)  $\dot{W}(y) < 0$ , ogni qual volta la traiettoria passa vicino a  $y$ , la funzione  $W$  diminuisce con velocità di decrescita maggiore di un valore strettamente positivo  $c/2$ , mentre, quando è lontana, sappiamo che non può aumentare (perché  $\dot{W} \leq 0$  in generale). Poiché la traiettoria passa vicino a  $y$  infinite volte (essendo  $y \in L_\omega(x)$ ) e ogni volta  $W$  diminuisce di una quantità finita e non nulla, ne segue che  $W$  deve diminuire complessivamente di una quantità infinita, cioè deve tendere a  $-\infty$ , contro l'ipotesi che sia positiva.

**Osservazione 17.26** Se  $\beta = +\infty$ , invece che nel modo indicato sopra si può ragionare come nel caso  $\beta < +\infty$ , sostituendo a  $\beta$  un qualsiasi tempo finito (per esempio  $\beta = 1$ ).

**Osservazione 17.27** Nel caso di sistemi dinamici non autonomi la (17.1) va sostituita con

$$\dot{x} = f(x, t), \quad (17.13)$$

dove  $f: \mathbb{R}^n \times \mathbb{R} \rightarrow \mathbb{R}^n$  è un campo vettoriale di classe  $C^1$  dipendente esplicitamente dal tempo. Le definizioni e proprietà date sopra si estendono inalterate a sistemi non autonomi (17.13).

**Definizione 17.28** (SISTEMA MECCANICO) *Un sistema meccanico a  $\ell$  gradi di libertà è un sistema dinamico descritto dall'equazione*

$$A\ddot{q} = F(q, \dot{q}, t), \quad (17.14)$$

dove  $q \in \mathbb{R}^\ell$  e

1.  $A$  è una matrice  $\ell \times \ell$  simmetrica definita positiva (matrice di massa generalizzata),
2.  $F: \mathbb{R}^\ell \times \mathbb{R}^\ell \times \mathbb{R} \rightarrow \mathbb{R}^\ell$  è una funzione di classe  $C^1$  (forza).

**Osservazione 17.29** Poiché è definita positiva, la matrice simmetrica  $A$  è invertibile (cfr. l'esercizio 10). Nel caso particolare in cui si abbia  $\ell = 3N$ , con  $N \in \mathbb{N}$ , e la matrice di massa generalizzata  $A$  sia una matrice diagonale con i primi tre elementi uguali a  $m_1$ , i tre successivi uguali a  $m_2$ , e così via fino agli ultimi tre uguali a  $m_N$  (in tal caso si chiama semplicemente *matrice di massa*), se scriviamo

$$q = x := (x_1^{(1)}, x_2^{(1)}, x_3^{(1)}, \dots, x_1^{(N)}, x_2^{(N)}, x_3^{(N)}), \quad F := (F_1^{(1)}, F_2^{(1)}, F_3^{(1)}, \dots, F_1^{(N)}, F_2^{(N)}, F_3^{(N)}),$$

la (17.14) diventa

$$m_i \ddot{x}_k^{(i)} = F_k^{(i)}(x, \dot{x}, t), \quad i = 1, \dots, N, \quad k = 1, 2, 3. \quad (17.15)$$